

法政大学 正 大地 単三
セントエリザベス・セント 正〇 瀬辺 隆光

1. は じ め に

吊橋の応力解析において機械論理に基づいた基礎微分方程式の解は、一般に数値計算に便利な形に表されることは。たとえばラプラス変換による方法あるいはガラーラン法などもよく用いられる。また一般的構造解析において広く用いられるのは変形法にもとづく微分方程式の解と変形し剛性マトリックスを組み解を得る二つの方法である。この場合既存の変形法による構造解析プログラムに簡単に組込み吊橋解析が行えるという利点がある。本報では、ケーブルと補剛トラスが一体となった一般化部材要素を考慮した剛性マトリックスの式を明了に示すとともに数値計算例を示す。

2. 基礎微分方程式

偏心荷重を負うた場合、断面変形を考慮した補剛トラスの微分方程式はケーブルの方程式は、次のようになる。

$$EI V'' - \tilde{H} V'' = P_0 + (k_1 + k_2) \dot{\gamma}^2 + \frac{8}{3} (k_2 - k_1) (\varphi^2 + \phi^2) \quad (1a)$$

$$aW'' - b_1 W - b_2 \varphi' - b_3 \phi' = 0 \quad (1b)$$

$$-b_1 W'' - (b_2 + \frac{b_3^2}{4} H) \varphi'' - (b_3 + \frac{b_2^2}{4} H) \phi'' = m_\varphi + \frac{8}{3} (k_2 - k_1) \dot{\gamma}^2 + \frac{8}{3} (k_2 - k_1) V'' \quad (1c)$$

$$-b_1 W'' - (b_2 + \frac{b_3^2}{4} H) \varphi'' - (b_1 + \frac{b_2^2}{4} H) \phi'' = m_\phi + \frac{8}{3} (k_2 - k_1) \dot{\gamma}^2 + \frac{8}{3} (k_2 - k_1) V'' - V \phi \quad (1d)$$

$$\frac{dc}{dx} k_1 + \mu \alpha T_0 l_0 - \int_0^x \left\{ V'' - \frac{8}{3} (\varphi^2 + \phi^2) \right\} dx = U_{1a} - U_{1a} \quad (2a)$$

$$\frac{dc}{dx} k_2 + \mu \alpha T_0 l_0 - \int_0^x \left\{ V'' + \frac{8}{3} (\varphi^2 + \phi^2) \right\} dx = U_{2a} - U_{2a} \quad (2b)$$

ただし $\tilde{H} = 2H + k_1 + k_2$, $k_1 = \int_0^x \left(\frac{dC}{dx} \right)^2 dx$, $k_2 = \int_0^x \left(\frac{dC}{dx} \right)^2 dx$ とする。 V, W, φ, ϕ は鉛直たわみ、ヨリカムリ角、剪断角、 a, b_1, b_2, Γ はケーブル剛性、 H, A_C はケーブルの死荷重水平強力と断面積、 k_1, k_2 は左右ケーブルの活荷重水平強力、 P_0, m_φ, m_ϕ は、鉛直荷重、ヨリカムリ荷重、ケーブル荷重である。

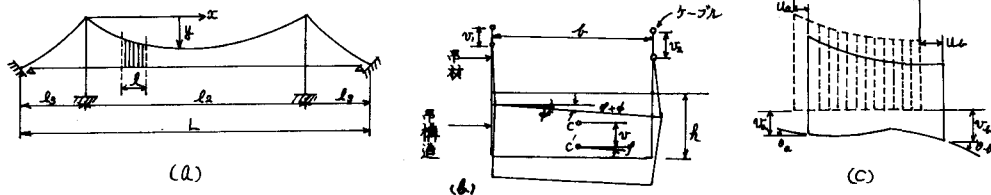


図1. (a) 吊橋部材, (b) 橋断面の変形状態, (c) 側面の変形状態

3. 吊橋部材の剛性マトリックス

このように吊橋部材とは、図1に示したように補剛トラスと吊橋ケーブルを一体として正則化して切り出したものを一般化された部材と見ることにする。従って(1)式の解(V, W, φ, ϕ)は、正則化によって得られたが、(2)式の非線形項(右因式)は剛性減を除いた解を意味する。(3)式のケーブル方程式は正則化に適用して3形に変形するためには死荷重載荷時ケーブル形状を放物線とする「3次元正則化」で部分積分を行なって次式が得られる。

$$\frac{dc}{dx} k_1 = -U_{1a} - \left\{ V_{1a} - \frac{8}{3} (P_{1a} + p_{1a}) \right\} \left[\frac{V_{1a} - V_0}{L} + \frac{8L}{24H} \right] + U_{1b} + \left\{ V_{1b} - \frac{8}{3} (P_{1b} + p_{1b}) \right\} \left[\frac{V_{1b} - V_0}{L} - \frac{8L}{24H} \right] + \frac{8}{3} \int_{V_0}^{V_{1a}} \left(V - \frac{8}{3} (\varphi^2 + \phi^2) \right) dx - \mu \alpha T_0 l_0 \quad (3a)$$

$$\frac{dc}{dx} k_2 = -U_{2a} - \left\{ V_{2a} + \frac{8}{3} (P_{2a} + p_{2a}) \right\} \left[\frac{V_{2a} - V_0}{L} + \frac{8L}{24H} \right] + U_{2b} + \left\{ V_{2b} + \frac{8}{3} (P_{2b} + p_{2b}) \right\} \left[\frac{V_{2b} - V_0}{L} - \frac{8L}{24H} \right] + \frac{8}{3} \int_{V_0}^{V_{2a}} \left(V + \frac{8}{3} (\varphi^2 + \phi^2) \right) dx - \mu \alpha T_0 l_0 \quad (3b)$$

補剛トラスのせん断力は、図2の(a), (b)との関係より(4a), (4d), (4c), (4e)式のように与えられる。また、ヨリカムリ角、ケーブルの死荷重、ケーブルの横たわみ、ケーブルの傾き等を用いて、(4a)式より(4d), (4d), (4c), (4e)式の左辺を計算される。

$$S = -EI (V^3 - \frac{1}{EI} \tilde{H}^2 V') + (k_1 + k_2) \left\{ \frac{8}{24H} \left(\frac{L}{2} - x \right) + \frac{1}{2} (V_a - V_b) \right\} \quad (4a) \quad M = -EI V'' \quad (4b)$$

$$M_{ab} = -aW' \quad (4c) \quad T = b_1 W + b_2 \varphi' + b_3 \phi' + \frac{1}{2} L^2 H (\varphi' + \phi') \quad (4d)$$

$$T_\phi = b_1 w + b_2 \phi' + b_3 \phi + \frac{1}{2} b^2 H (\phi' + \phi) \quad (4c)$$

(1) 式(4)と(5)を解くと得られる。図3に示すように、左端は固定端、右端はフリーフィルム端である。吊橋の剛性マトリックスは図4のようになる。

4. 非線形項と横剛性の考慮

(1)式の非線形項は次のように考慮する。(4c),(4d),(4e)式と5の M_w を用い、また(1),(4)式の右辺を用いて2次式を得る。

$$\phi' + \phi'' = \left\{ M_w - \frac{2a}{a_1 + a_2} \left(m_{\phi} - \frac{1}{2} (b_2 - b_1) \left(\frac{H}{2H} + \frac{M}{EI} \right) \right) \right\} \frac{2b^2}{b^2 H} \quad (5)$$

ここで T_a は死荷重、 $\bar{P}^2 = (a_1 + a_2) b^2 H / 2a (b_1 + b_2 + b^2 H)^2$ である。 $V'' = -\frac{M}{EI}$ と(5)式を非線形項に代入し繰り返し計算の角2近似値の計算を行う荷重項を1考慮する。また横剛性は補助トラスの斜傾角よりトラスの斜度によって生ずる水平変位を考慮する。よって各角中に対応する斜要素に水平変位と1次剛性を加えて考慮する。

$$\begin{aligned} \tilde{\Phi}_a &= \begin{bmatrix} 0 & 0 & 0 & 0 & 0 & 0 \\ 0 & B & \bar{B} & \bar{B} & \bar{B} & \bar{B} \\ \bar{B} & 0 & \bar{B} & \bar{B} & \bar{B} & \bar{B} \\ \bar{B} & \bar{B} & \bar{B} & \bar{B} & \bar{B} & \bar{B} \\ \bar{B} & 0 & 0 & 0 & 0 & 0 \\ \bar{B} & 0 & \bar{B} & \bar{B} & \bar{B} & \bar{B} \end{bmatrix} + \begin{bmatrix} K_1 \\ K_2 \\ K_3 \\ K_4 \\ K_5 \\ K_6 \end{bmatrix} \begin{bmatrix} K_1 & K_2 & K_3 & K_4 & K_5 & K_6 \end{bmatrix} \quad \begin{bmatrix} \tilde{\Phi}_a \\ \tilde{\Phi}_a \\ \tilde{\Phi}_a \\ \tilde{\Phi}_a \\ \tilde{\Phi}_a \\ \tilde{\Phi}_a \end{bmatrix} = \begin{bmatrix} K_1 & K_2 & K_3 & K_4 & K_5 & K_6 \\ K_1 & 0 & A_1 & K_2 & K_3 & K_4 \\ K_2 & A_1 & 0 & K_3 & K_4 & K_5 \\ K_3 & K_4 & K_3 & 0 & K_5 & K_6 \\ K_4 & K_5 & K_4 & K_5 & 0 & K_6 \\ K_5 & K_6 & K_5 & K_6 & K_6 & 0 \end{bmatrix} \begin{bmatrix} P \\ P \\ P \\ P \\ P \\ P \end{bmatrix} - \begin{bmatrix} K_1 \\ K_2 \\ K_3 \\ K_4 \\ K_5 \\ K_6 \end{bmatrix} \begin{bmatrix} K \\ K \\ K \\ K \\ K \\ K \end{bmatrix} \begin{bmatrix} P \\ P \\ P \\ P \\ P \\ P \end{bmatrix} \end{aligned}$$

$$\begin{aligned} B_2 &= \begin{bmatrix} B_{55} & B_{56} & B_{57} \\ B_{56} & B_{66} & B_{67} \\ B_{57} & B_{67} & B_{77} \end{bmatrix}, \tilde{B}_2 = \begin{bmatrix} -B_{55} & B_{56} & B_{57} \\ -B_{56} & -B_{66} & B_{67} \\ -B_{57} & -B_{67} & B_{77} \end{bmatrix}, \tilde{\tilde{B}}_2 = \begin{bmatrix} B_{55} & B_{56} & B_{57} \\ B_{66} & B_{66} & B_{67} \\ B_{57} & B_{67} & B_{77} \end{bmatrix}, \tilde{B}_1 = \begin{bmatrix} B_{33} & B_{34} \\ B_{34} & B_{44} \end{bmatrix}, K_1 = \frac{1}{2} \begin{bmatrix} 1 & 1 \\ -1 & 1 \end{bmatrix}, K_2 = \begin{bmatrix} T & -\frac{GK}{2H} \\ 0 & 0 \end{bmatrix}, \tilde{K} = \begin{bmatrix} K_Q & 0 \\ 0 & K_V \end{bmatrix} \\ K_3 &= \begin{bmatrix} 0 & 0 & 0 \\ \frac{K_2 b}{4H} & \frac{T_b}{2} & \frac{T_b}{2} \end{bmatrix}, \tilde{K}_3 = \begin{bmatrix} T_b \\ K_2 a \\ K_2 a \end{bmatrix}, \tilde{M}_a = \begin{bmatrix} S_a \\ M_a \end{bmatrix}, \tilde{T}_a = \begin{bmatrix} M_w a \\ T_a \end{bmatrix}, \tilde{\tilde{U}}_a = \begin{bmatrix} U_1 a \\ U_2 a \end{bmatrix}, \tilde{\tilde{O}}_a = \begin{bmatrix} V_a \\ Q_a \\ \phi_a \end{bmatrix}, \tilde{P}_a = \begin{bmatrix} W_a \\ Q_a \\ \phi_a \end{bmatrix}, A_1 = \begin{bmatrix} -\frac{1}{2} & 0 \\ -G & 0 \end{bmatrix}, A_2 = \begin{bmatrix} 0 & -\frac{1}{2} \\ 0 & -\frac{1}{2} \end{bmatrix}, A_3 = \begin{bmatrix} G & 0 \\ 0 & G \end{bmatrix} \\ \tilde{A}_1 &= \begin{bmatrix} -\frac{1}{2} & 0 \\ \frac{G}{2} & 0 \end{bmatrix}, \tilde{A}_2 = \begin{bmatrix} 0 & -\frac{1}{2} \\ 0 & -\frac{1}{2} \end{bmatrix}, P = \begin{bmatrix} P_u \\ m_p \end{bmatrix}, \tilde{P} = \begin{bmatrix} \frac{8E}{2H} P_u - \frac{1}{2} M_w (a T_1 + a T_2) \\ \frac{8E}{2H} m_p - \frac{1}{2} M_w (a T_2 + a T_1) \end{bmatrix}, \Delta^2 = \frac{2\tilde{P}}{EI}, \tilde{H} = H + \frac{1}{2} (a_1 + a_2), B_{33} = \frac{1}{2} \left(\frac{Ez}{L^2} + \frac{H}{E} \right), T = \frac{1}{2} (Q_a - 2W) \\ B_{34} &= \frac{1}{2} \left(\frac{Ez}{L^2} + \frac{H}{E} \right), B_{44} = \frac{1}{2} \left(\frac{Ez}{L^2} + \frac{H}{E} \right), B_{34} = 2E \left(\frac{Ez}{L^2} + \frac{H}{E} \right), B_{44} = 2E \left(\frac{Ez}{L^2} + \frac{H}{E} \right) \\ G &= \frac{E^2}{12} (1 - \frac{(KL)^2}{60}), \bar{E} = (1 + \frac{KL^2}{12a}) (1 - \frac{(KL)^2}{60a}) \frac{E^2}{12}, B_{55} = \frac{E}{2} \left(\frac{a}{L^2} + \frac{L}{3} - \frac{(KL)^2}{6E} \right), \bar{B}_{55} = \frac{E}{2} \left(\frac{a}{L^2} + \frac{L}{6} + \frac{7(KL)^2}{360} \right), B_{55} = \frac{E}{2} \left(1 - \frac{(KL)^2}{60} \right) \\ B_{57} &= \frac{E}{2} \left(1 - \frac{(KL)^2}{12} \right), B_{67} = \frac{E}{2} \left(B_{55} + \frac{E^2 H}{6} \right), B_{77} = \frac{E}{2} \left(B_{57} + \frac{E^2 H}{6} \right), B_{66} = B_{77} + \frac{E}{12} \frac{E}{a} (b_1^2 - b_2^2), K = \frac{12a^2}{E^2 H} \frac{E^2}{12} \left(1 - \frac{(KL)^2}{60} \right), \\ \lambda_P &= \frac{P^2}{2E^2 EI} \left(1 - \frac{(KL)^2}{60} \right), \lambda_m = \frac{P^2}{2E^2 H} \left(1 - \frac{2a^2 E^2}{E^2 H} \right), k_{\phi} = \frac{2EcAc}{E_c} \left(\frac{8E}{2H} \right)^2 \frac{\lambda_m}{E}, k_V = \frac{2EcAc}{E_c} \left(\frac{8E}{2H} \right)^2 \frac{\lambda_P}{E}, \Delta = (1 + k_{\phi} + k_{\phi'})^2 - (k_V - k_{\phi'})^2 \\ k_{\phi'} &= \frac{2EcAc}{E_c \Delta} (1 + 2k_{\phi}), k_V = \frac{2EcAc}{E_c \Delta} (1 + 2k_V), m_p = \frac{2}{E} \lambda_m m_p, P_f = \lambda_P \cdot P_v \end{aligned}$$

図4. 一般化吊橋部材の剛性マトリックス

5. 数値計算例

本問題では、南北両端に大橋の諸元を用いて2次元モデルを作成し、吊橋の場合を解析し、一般化法の結果と比較した。荷重条件は下記で示す結果を比較する。表1.2行



図5. 荷重条件

6. 参考文献

1) 本問題調査報告書「吊橋のねじり解析」

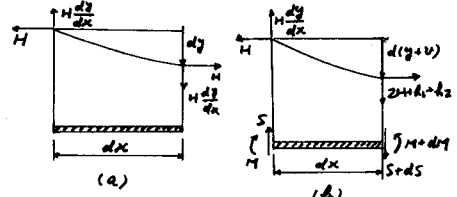
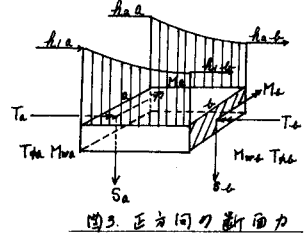


図2. (a) 死荷重載荷時、(b) 活荷重載荷時



右上添字 a は軸置、右下添字

a は a 端長さと端を示して

トルク成分は同じでない。

$$O = \begin{bmatrix} 0 & 0 \\ 0 & 0 \end{bmatrix}, \tilde{O} = \begin{bmatrix} 0 & 0 & 0 \\ 0 & 0 & 0 \end{bmatrix}$$

$$B_1 = \begin{bmatrix} B_{33} & B_{34} \\ B_{34} & B_{44} \end{bmatrix}, \tilde{B}_1 = \begin{bmatrix} -B_{33} & B_{34} \\ -B_{34} & B_{44} \end{bmatrix}, B_2 = \begin{bmatrix} B_{55} & B_{56} & B_{57} \\ B_{56} & B_{66} & B_{67} \\ B_{57} & B_{67} & B_{77} \end{bmatrix}, \tilde{B}_2 = \begin{bmatrix} -B_{55} & B_{56} & B_{57} \\ -B_{56} & -B_{66} & B_{67} \\ -B_{57} & -B_{67} & B_{77} \end{bmatrix}$$

$$K_1 = \begin{bmatrix} 1 & 1 \\ -1 & 1 \end{bmatrix}, K_2 = \begin{bmatrix} T & -\frac{GK}{2H} \\ 0 & 0 \end{bmatrix}, \tilde{K} = \begin{bmatrix} K_Q & 0 \\ 0 & K_V \end{bmatrix}$$

$$A_1 = \begin{bmatrix} -\frac{1}{2} & 0 \\ -G & 0 \end{bmatrix}, A_2 = \begin{bmatrix} 0 & -\frac{1}{2} \\ 0 & -\frac{1}{2} \end{bmatrix}, A_3 = \begin{bmatrix} G & 0 \\ 0 & G \end{bmatrix}$$

$$\tilde{A}_1 = \begin{bmatrix} 0 & -\frac{1}{2} \\ \frac{G}{2} & 0 \end{bmatrix}, \tilde{A}_2 = \begin{bmatrix} 0 & -\frac{1}{2} \\ 0 & -\frac{1}{2} \end{bmatrix}, P = \begin{bmatrix} P_u \\ m_p \end{bmatrix}, \tilde{P} = \begin{bmatrix} \frac{8E}{2H} P_u - \frac{1}{2} M_w (a T_1 + a T_2) \\ \frac{8E}{2H} m_p - \frac{1}{2} M_w (a T_2 + a T_1) \end{bmatrix}$$

$$\Delta^2 = \frac{2\tilde{P}}{EI}, \tilde{H} = H + \frac{1}{2} (a_1 + a_2), B_{33} = \frac{1}{2} \left(\frac{Ez}{L^2} + \frac{H}{E} \right), T = \frac{1}{2} (Q_a - 2W)$$

$$B_{34} = \frac{1}{2} \left(\frac{Ez}{L^2} + \frac{H}{E} \right), B_{44} = \frac{1}{2} \left(\frac{Ez}{L^2} + \frac{H}{E} \right), B_{34} = 2E \left(\frac{Ez}{L^2} + \frac{H}{E} \right), B_{44} = 2E \left(\frac{Ez}{L^2} + \frac{H}{E} \right)$$

$$G = \frac{E^2}{12} (1 - \frac{(KL)^2}{60}), \bar{E} = (1 + \frac{KL^2}{12a}) (1 - \frac{(KL)^2}{60a}) \frac{E^2}{12}, B_{55} = \frac{E}{2} \left(\frac{a}{L^2} + \frac{L}{3} - \frac{(KL)^2}{6E} \right), \bar{B}_{55} = \frac{E}{2} \left(\frac{a}{L^2} + \frac{L}{6} + \frac{7(KL)^2}{360} \right), B_{55} = \frac{E}{2} \left(1 - \frac{(KL)^2}{60} \right)$$

$$B_{57} = \frac{E}{2} \left(1 - \frac{(KL)^2}{12} \right), B_{67} = \frac{E}{2} \left(B_{55} + \frac{E^2 H}{6} \right), B_{77} = \frac{E}{2} \left(B_{57} + \frac{E^2 H}{6} \right), B_{66} = B_{77} + \frac{E}{12} \frac{E}{a} (b_1^2 - b_2^2), K = \frac{12a^2}{E^2 H} \frac{E^2}{12} \left(1 - \frac{(KL)^2}{60} \right),$$

$$\lambda_P = \frac{P^2}{2E^2 EI} \left(1 - \frac{(KL)^2}{60} \right), \lambda_m = \frac{P^2}{2E^2 H} \left(1 - \frac{2a^2 E^2}{E^2 H} \right), k_{\phi} = \frac{2EcAc}{E_c} \left(\frac{8E}{2H} \right)^2 \frac{\lambda_m}{E}, k_V = \frac{2EcAc}{E_c} \left(\frac{8E}{2H} \right)^2 \frac{\lambda_P}{E}, \Delta = (1 + k_{\phi} + k_{\phi'})^2 - (k_V - k_{\phi'})^2$$

$$k_{\phi'} = \frac{2EcAc}{E_c \Delta} (1 + 2k_{\phi}), k_V = \frac{2EcAc}{E_c \Delta} (1 + 2k_V), m_p = \frac{2}{E} \lambda_m m_p, P_f = \lambda_P \cdot P_v$$

着 目	たわみ (m)		弦材軸力 (ton)	
	ガラス 法	本 法	ガラス 法	本 法
1				
2	-0.364	-0.395	-0.361	-865.4 - 789.8 - 737.4
3				
4	0.568	0.511	0.522	-479.0 - 538.8 - 488.5
5	2.085	2.225	2.116	966.9 977.3 900.2
弦材軸力 (ton)				
A1	3244	3343	3299.8	
A2	5104	4991	4948	

表1. 結果の比較